



## بررسی تجربی تاثیر تغییر پارامترهای مختلف بر رفتار لوله‌های کامپوزیتی شیشه/اپوکسی تحت بارگذاری شبه استاتیکی محوری

امید نجف‌زاده اصل<sup>1</sup>، محمدحسین پل<sup>2\*</sup>، نبی‌الله رضایی گلشن<sup>1</sup>

1- دانشجوی کارشناسی ارشد، مهندسی مکانیک، دانشگاه تفرش، تفرش

2- استادیار، مهندسی مکانیک، دانشگاه تفرش، تفرش

\* تفرش، صندوق پستی ۱۴۱۱۵-۱۴۳ m\_h\_pol@tafreshu.ac.ir

### چکیده

لوله‌های کامپوزیتی در طول استقرار در محل یا کارکرد، ممکن است تحت بارهای ضربه‌ای شبه استاتیکی قرار گیرند. با تعیین خواص ضربه‌ای لوله‌های کامپوزیتی و بهره‌گیری از آن‌ها در فرایند طراحی، سخت رفتار این سازه‌ها در شرایط بارگذاری شبه استاتیکی تضمین می‌شود. در پژوهش حاضر، به بررسی تاثیر تغییر پارامترهای نظیر قطر لوله، چگالی الیاف، زاویه چیدمان الیاف و افزون فوم بر رفتار لوله‌های کامپوزیتی شیشه/اپوکسی تحت بارگذاری شبه استاتیکی محوری پرداخته شده است. نمودار نیرو-جایجاوی برای تمام آزمایش‌ها استخراج و با نمودار سایر آزمایش‌ها مقایسه شد. همچنین میزان جذب انرژی ویژه در هر آزمایش برای تمام نمونه‌ها محاسبه شد. نتایج این پژوهش نشان داد تغییر پارامترهای ذکر شده بر میزان جذب انرژی ویژه لوله‌های کامپوزیتی موثر نند. به طوری که با افزایش قطر داخلی نمونه و چگالی الیاف به کار رفته برای ساخت نمونه، انرژی جذب شده ویژه نیز افزایش می‌یابد. همچنین نتایج نشان داد که فوم با چگالی Kg/m<sup>3</sup> 700، تاثیر کمی بر میزان تحمل نیروی وارد داشت که این مسئله باعث کاهش نسبتاً کم جذب انرژی ویژه نمونه‌ها شد. ولی با افزایش چگالی فوم تا Kg/m<sup>3</sup> 1400، هم مقاومت نمونه در مقابل بارگذاری صورت گرفته و هم میزان جذب انرژی ویژه افزایش پیدا کرد. از پژوهش حاضر این نتایج روششند که برای نمونه‌های با چگالی الیاف 400 g/m<sup>2</sup> بر مترمربع و زاویه چیدمان [±45] می‌باشد.

### اطلاعات مقاله

دریافت: \*\*\*  
پذیرش: \*\*\*

**کلیدواژگان:**  
لوله‌های کامپوزیتی  
بارگذاری شبه استاتیکی  
جذب انرژی ویژه  
شیشه/اپوکسی

## Experimental Investigation of the Effect of Different Parameters on the Behavior of Glass / Epoxy Composite Tubes under quasi-Static axial Loading

Omid Najafzade Asl, Mohammad Hosein Pol\*, Nabi Rezaei Golshan

Department of Mechanical Engineering, Tafresh University, Tafresh, Iran.

\* P.O.B. 14115-143 Tafresh, Iran, m\_h\_pol@tafreshu.ac.ir

### Keywords

Composite tubes  
Quasi-static loading  
Specific absorbed energy  
Glass/epoxy

### Abstract

Composite tubes may be subjected to quasi-static loads during placement or operation. By determining the impact properties of composite tubes and using them in the design process, the accuracy of the behavior of these structures in a quasi-static loading condition is guaranteed. In the present study, the effect of changing parameters such as pipe diameter, fiber density, fiber alignment angle and the addition of foam on the behavior of glass/epoxy composite tubes under axial loading has been investigated. The force-displacement diagram was extracted for all experiments and compared with other experiments. Also, the specific energy absorption in each experiment was calculated for all samples. The results of this study showed that the change of parameters mentioned on the energy absorption of composite tubes is effective. As the sample's internal diameter and the density of the fibers used to make the sample increases, the specific absorbed energy also increases. Also, the results showed that with increasing foam density up to 1400 Kg/m<sup>3</sup>, the sample resistance was increased against the loading and the specific energy absorption was increased. From the present study, it was also clear that for samples with fiber density of 400 g/m<sup>2</sup> and angle of alignment [±45], the clustering mode was folding with a special pattern, similar to the destruction of metal samples reported by other researchers.

می‌شود[1]. امروزه، استفاده از مواد کامپوزیتی به عنوان ماده انتخابی به جای

مواد فلزی در بسیاری از کاربردهای فناوری مشاهده می‌شود. لوله‌های کامپوزیتی در طول استقرار در محل یا کارکرد، ممکن است تحت بارهای شبه استاتیکی قرار گیرند. این بارها می‌توانند در اثر سقوط جسام، به وجود آمده و آسیب‌های داخلی قبل توجهی را ایجاد کنند که موجب کاهش شدید مقاومت باقیمانده لایه‌ها در لوله‌های کامپوزیتی می‌شوند. از این‌رو، رفتار این لوله‌ها در مقابل بارگذاری شبه استاتیکی و همچنین پارامترهای مؤثر بر آن‌ها

### ۱- مقدمه

کاهش وزن ساختاری تنها یک جزء از یک سیستم مکانیکی، تاثیر مثبت بسزایی در کارکرد سایر اجزا دارد. به عنوان مثال، کاهش جرم بدنه یک قطار، می‌تواند منجر به صرفه‌جویی در وزن سیستم کشش، تعليق، ترمز و سایر بخش‌های آن شود. کاهش وزن کلی قطار سبب کاهش سایش در ریل‌ها، چرخ‌ها و یا طاقان‌ها نیز می‌گردد که بهنوبه خود باعث کاهش تعمیرات

برای ارجاع به این مقاله از عبارت زیر استفاده نمایید:

Najafzade-Asl, O. Pol, M. H. and Rezaei-Golshan, N., "Experimental Investigation of the Effect of Different Parameters on the Behavior of Glass / Epoxy Composite Tubes under quasi-Static axial Loading", In Persian, Journal of Science and Technology of Composites, Vol. \*, No. \*, pp. \*-\*.

استاتیکی برش پانچ پرداختند و نتیجه گرفتند که تغییر هندسه ضربه‌زن باعث تغییر مکانیزم شکست، می‌شود. آنان در مطالعه‌ای دیگر [13]، به بررسی ویژگی‌های برش پانچ صفحات کامپوزیتی ساخته شده از شیشه‌اپوکسی/CNT پرداختند. نتایج آنان نشان داد که استفاده از نانولوله‌های کربنی، استحکام نمونه‌ها را کاهش داد. مهربانی و همکاران [14]، رفتار لمینت ساخته شده از الیاف شیشه‌ای بافت‌شده تحت بارگذاری شبه‌استاتیکی با ضربه‌زن‌های مختلف را بررسی کردند. نتایج نشان داد که بیشترین منطقه آسیب در حد سرعت بالستیک برای هر پرتابه است و پرتابه در این منطقه دچار انحراف شدید می‌گردد. هان و همکاران [15]، یک بررسی عددی جامع برای ارزیابی پاسخ و ظرفیت جذب انرژی لوله‌های ترکیبی ساخته شده از کامپوزیت پلاستیکی تقویت شده با الیاف پیچیده شده در جهت  $\pm 45^\circ$  به روش پالتروزن را انجام دادند. آن‌ها با استفاده از شبیه‌سازی عددی، رفتار خردشده‌گی این لوله‌ها را تحت هر دو بارگذاری شبه‌استاتیکی و دینامیکی محوری بررسی کردند. آنان دریافتند که این لوله‌های می‌توانند به عنوان گذینه مناسب‌تر در ساختارهای جذب انرژی استفاده شوند. هونگ و وانگ [16] به بررسی پاسخ لهش‌گی لوله‌های تقویت شده با الیاف کربن تحت بارگذاری شبه‌استاتیکی پرداختند. در طی آزمایش‌های انجام شده، لهش‌گی پیش‌رونده پایدار و مود شکست له شدگی ترد، مشاهده شد. آن‌ها دریافتند که وجود پیچ در یک انتهای لوله باعث ایجاد کنترل در وضعیت لهش‌گی، کاهش نیروی اوج اولیه و افزایش استحکام روند لهش‌گی محوری می‌شود.

لوئیس ان.اس. چیو و همکاران [17]، یک مطالعه تجربی بر روی رفتار کامپوزیت کربن‌اپوکسی تحت بار استاتیکی و دینامیکی با نرخ کرنش  $5\text{ s}^{-1}$  انجام دادند. نتایج نشان داد که مواد تست شده تا نرخ کرنش  $5\text{ s}^{-1}$ ، مستقل از نرخ کرنش هستند. مودهای آسیب بدست آمده، نیز با افزایش نرخ بارگذاری نمونه‌ها، ثابت باقی مانند. امین دنیز و همکاران [18]، اثر شرایط محیطی بر عمر خستگی لوله‌های کامپوزیتی شیشه‌اپوکسی تحت بارگذاری ضربه‌ای را بررسی کردند. نتایج نشان داد که با افزایش زمان غوطه‌وری در آب، به خاطر خوردگی ماتریس در اثر نمک آب دریا، جدایش ماتریس و الیاف بیشتر می‌شود. همچنین مشاهده شد که در نمونه‌های سالم، آسیب نشت و فوران، در انتهای نمونه رخ می‌رهد ولی در نمونه‌های تحت ضربه، این آسیب‌ها در منطقه ضربه رخ می‌دهند.

مطالعات صورت‌گرفته توسط محققان، به طور عمده با هدف بررسی میزان کارایی نمونه‌های کامپوزیتی به عنوان جاذب انرژی صورت گرفته است. در این پژوهش نیز، تأثیر پارامترهایی نظیر چگالی الیاف، قطر داخلی، زاویه چیدمان الیاف و پرکردن لوله با فوم بر روی رفتار لهش‌گی و میزان جذب انرژی نمونه‌های کامپوزیتی ساخته شده از الیاف دوبعدی شیشه و رزین اپوکسی مورد مطالعه قرار گرفت. بری اطمینان بیشتر از نتایج به دست آمده، هر آزمایش دو بار تکرار شد و میانگین داده‌های دو آزمایش، جهت مقایسه با سایر آزمایش‌ها در نظر گرفته شد.

## ۲- روش تهیه و ساخت مواد

### ۲-۱- تهیه مواد اولیه

در این پژوهش، ماتریس از نوع رزین اپوکسی، دیکلیسیدیل اتر بیسفنول نوع آ<sup>۲</sup> با نام تجاری ایپون 828 تولید شده توسط شرکت شل به عنوان پایه اپوکسی که از خواص خوب این رزین به استحکام بالای مکانیکی و سازگاری

باید به دقت مورد مطالعه قرار گرفته و با شناخت رفتار لوله‌های کامپوزیتی تحت بارگذاری شبه‌استاتیکی، بتوان از قابلیت اطمینان سازه حین این بارگذاری‌ها اطمینان حاصل کرد [2-3]. این مساله منجر به انجام فعالیت‌ها و تحقیقات عمیقی در زمینه مقاومت مواد کامپوزیتی در برابر بارهای خارجی شده است. آگاهی از خواص و رفتار این مواد در برابر بارگذاری‌های مختلف، مستلزم بررسی تحقیقات و مطالعات انجام شده توسط دیگران می‌باشد.

کاکوگایانس و همکاران [4]، میزان جذب انرژی لوله‌های کامپوزیتی ساخته شده به روش پالتروزن که تحت بار لهش‌گی محوری قرار داشت را بررسی کردند. آن‌ها تأثیر توده‌های انفجار را بر پاسخ لوله، با در نظر گرفتن فاصله لهش‌گی، نیروی متوسط لهش‌گی و میزان جذب انرژی خاص بررسی کردند. نتایج نشان داد که میزان لهش‌گی با افزایش نفوذ صورت گرفته، افزایش یافت. هوانگ و همکاران [5]، آزمایش‌های شبه‌استاتیکی را بر روی لوله‌های کامپوزیتی تقویت شده با الیاف انجام دادند تا پاسخ لهش‌گی آن‌ها را در برابر بارگذاری مذکور بررسی کنند. آن‌ها دریافتند که بر اساس معیار شکست چنگ-چنگ<sup>۱</sup>، مدل المان محدود دو لایه برای توصیف حالت‌های شکست لهش‌گی و میزان جذب انرژی نمونه‌های لوله‌های کامپوزیتی نسبتاً موثر است. هول [6]، ویژگی‌های اصلی خم‌شده‌گی پیش‌رونده را در لوله‌های دایره‌ای تحت بارگذاری فشاری محوری به صورت خلاصه و جامع بررسی کرده است و در مورد تأثیر چیدمان الیاف بر لهش‌گی پیش‌رونده در لوله‌های کامپوزیتی کربن / اپوکسی با الیاف تکجهته و لوله‌های شبیه / اپوکسی بافت‌شده بحث کرده است. سونگ و همکاران [7]، به بررسی تجربی تأثیر عوامل متعدد مانند نرخ کرنش، ضخامت دیواره کامپوزیت، چیدمان الیاف در جهت  $\pm 70^\circ$  در لایه‌های کامپوزیت و خواص مکانیکی لوله فلزی تحت بار ضربه‌ای پرداختند. آن‌ها چهار حالت اصلی فروپاشی را برای لوله‌های هیبرید گزارش دادند که عبارتند از: فروپاشی به شکل لوزی مرکب، تکه‌تکه شدن ترکیبی، جدایش بین لایه‌ای و شکست فاجعه‌بار. اوکانو و همکاران [8]، خواص جذب انرژی لوله‌های پلاستیکی تقویت شده با الیاف بافته شده ترکیبی را مورد مطالعه قرار دادند و دریافتند لوله‌هایی که زاویه بافت الیاف آن‌ها  $60^\circ$  درجه است، بیشترین میزان جذب انرژی را نشان می‌دهند. کاراگیوزوا و همکاران [9]، اثر سرعت و جرم برخورد کننده بر میزان انرژی جذب شده و نوع مکانیزم تغییرشکل پوسته‌های استوانه‌ای را مورد مطالعه قرار دادند. آنان متوجه شدند که میزان انرژی جذب شده و نوع تغییر شکل، به جرم و سرعت برخورد کننده واپس است. میرزایی و همکاران [10]، یک ارزیابی تجربی و تحلیلی بر روی لوله‌های ترکیبی با سطح مقطع دایره‌ای که تحت بارگذاری شبه‌استاتیکی هستند را انجام دادند. نتایج آزمایش‌های تجربی آنان نشان داد که چیدمان لایه‌های کامپوزیتی، تأثیر قابل توجهی بر روی مقدار جذب انرژی لوله‌ها دارد. آن‌ها با توجه به این تأثیر مهم، یک مدل تحلیلی با استفاده از جهت گیری الیاف در هر لایه کامپوزیت ارائه دادند که نتایج آن، مطابقت خوبی با نتایج تجربی داشت. دیوید و جانسون [11]، تأثیر نرخ کرنش بر مکانیزم شکست و جذب انرژی عضوهای کامپوزیتی پلیمری را تحت بارگذاری محوری بررسی کردند. نتایج آن‌ها نشان داد که روش‌های عددی مطرح شده در این مقاله، می‌تواند در آینده برای توسعه یک پایگاه داده جامع از خواص جذب انرژی مواد کامپوزیتی و همچنین طراحی عددی معتبر این اجزا، استفاده گردد. صادقی و پل [12]، در پژوهشی به بررسی رفتار صفحات کامپوزیتی شبیه‌اپوکسی تقویت شده با نانولوله‌های کربنی تحت بارگذاری شبه

<sup>۲</sup> A diglycidyl ether of bisphenol A (DGEBA)

<sup>۱</sup> Change-Chang

جهت جلوگیری از نفوذ رزین به داخل مندلر مقواپی، قبل از پیچش الیاف، یک لایه نوار چسب شیشه‌ای پهن به دور مندلر مقواپی پیچیده شد تا ضمن جلوگیری از نفوذ رزین به داخل مقوا، باعث سهولت در خارج کردن مندلر از داخل نمونه شود.

#### ۲-۲-ساخت و آماده سازی نمونه

به سبب کاهش هزینه های پژوهش، ساخت نمونه ها به روش دستی انجام شد. هرچند روش ساخت دستی به اندازه روش پیچش الیاف دقیق نیست، ولی در این پژوهش سعی بر آن شد تا در هر مرحله از ساخت، پارامترهای موثر در نتایج پژوهش مانند درصد وزنی رزین و هاردنر، طول الیاف، زاویه الیاف، دمای محیط، قطر مندلر و کسر حجمی الیاف و رزین در نمونه به دقت کنترل شود تا کمترین میزان خطای نتایج آزمایش ها به دست آید.

**Table 1** Specifications of the fibers used in the manufacture of the samples

جدول ۱ مشخصات الیاف به کار برده شده در ساخت نمونه ها

مدول ویژه (Gpa-m <sup>3</sup> /Kg)	استحکام (Mpa)	مدول یانگ (Gpa)	ضخامت (mm)	چگالی سطحی (g/m <sup>2</sup> )	نوع الیاف
0.34	1550	85	0.2	200	E شیشه
0.36	1700	97	0.25	400	E شیشه



Fig. 1 Cardboard Mandrel for composite tube

شکل ۱ مندلر مقواپی جهت ساخت لوله کامپوزیتی



Fig. 2 machining of surface of mandrel for sizing

شکل ۲ ماشین کاری سطح مندلر برای سایز کردن



Fig. 3 A: tube rotor device B: Low speed 12Kw motor

شکل ۳ الف: دستگاه چرخان لوله . ب: موتور 12 کیلووات سرعت پایین

بالا با الیافها می‌توان اشاره کرد، انتخاب شده است. سفت‌کننده‌های بسیاری برای ایپون 828 از طرف شرکت سازنده، پیشنهاد شده است که بسته به کاربرد کامپوزیت، مناسبترین آن انتخاب می‌شود. در این پژوهش از سفت‌کننده سیکلول‌آیفانیک آمین اصلاح شده با نام تجاری اف<sup>۱</sup>۰۵ برای این رزین استفاده شده است. تسبیت مخلوط رزین به سفت‌کننده طبق پیشنهاد شرکت سازنده ۲ به ۱ است.

برای تهییه ماده‌ی کامپوزیتی از الیاف شیشه نوع E که دارای بافت دو بعدی با خواص طولی و عرضی پیکسان بوده، استفاده شده است. جهت بررسی تأثیر فاکتور چگالی سطحی در تعدادی از آزمایش‌ها، نمونه ها با دو نوع الیاف شیشه یکی با چگالی سطحی  $200 \text{ gr/m}^2$  و دیگری با چگالی سطحی  $400 \text{ gr/m}^2$  ساخته شده‌اند (شکل ۲). در صورتی که چگالی الیاف کمتر از مقدارهای پیشنهادی باشد، در روش لایه چینی دستی ، امکان خروج تارها از حالت عمود بر هم و در نتیجه تغییر خواص مطلوب نهایی وجود دارد.

در این پژوهش برای نمونه‌های فوم دار، از فوم پلی اورتان یخچالی سرد استفاده شد که جزو فوم‌های با جاذب انرژی بالاست. پلی یورتان از ترکیب دو ماده ایزوسیانات و پلی ال در حضور کاتالیست و افزودنی‌ها تولید می‌شود. بسته به نوع پلی ال و ایزوسیانات مختلف مورد استفاده، پلی یورتان تولید شده ممکن است حالت فوم، جامد و یا مایع داشته باشد. این فوم از ترکیب ایزوسیانات و پلی ال به نسبت ۱ به ۱ و هم زدن دو مایع به مدت ۵ دقیقه به دست می‌آید. پس مخلوط کردن میزان مشخصی از ۲ ماده فوق و هم زدن مخلوط حاصله، ماده شروع به افزایش حجم و در اصلاح پف کردن می‌کند. در برخی از نمونه ها جهت بررسی تأثیر چگالی فوم بر میزان انرژی جذب شده، در مرحله پف کردن ، دو طرف لوله بسته شد تا فوم چگالتری بدست آید. در شکل ۳، فوم پلی اورتان و نمونه ساخته شده، مشاهده می‌شود.

در ساختارهای کامپوزیتی، ماتریس به عنوان فاز زمینه، وظیفه انتقال یکنواخت نیرو به تمام بخش‌های الیاف را دارد. به همین دلیل دقت در نحوه ساخت رزین، باعث افزایش خواص مطلوب سازه می‌شود. در این پژوهش، برای ساخت ماتریس، با توجه به دستور ساخت شرکت سازنده، رزین اپوکسی و هاردنر، به نسبت ۲ به ۱ در یک ظرف پلاستیکی ریخته شدند. سپس جهت مخلوط شدن دو ماده فوق به صورت یکنواخت، مایع به مدت ۵ دقیقه هم زده شد.

در ساخت لوله های کامپوزیتی، الیاف معمولاً به دور یک قالب استوانه ای شکل که مندلر نامیده می‌شود، پیچیده می‌شوند. با بررسی مندلر های موجود در بازار که می‌توانستند در ساخت نمونه‌های این پژوهش به کار بردند، نتیجه گرفته شد که ساخت نمونه‌های این پژوهش، نیازمند مندلری است که هم به راحتی از داخل قطعه خارج شود و هم بتوان قطر داخلی مورد نظر برای ساخت نمونه‌ها را در مندلر ایجاد کرد. لذا از نوعی مندلر معرفی شده عموماً به عنوان لوله‌های نگهدارنده پارچه به صورت رول کاربرد دارند، استفاده شد. چراکه به سبب جنس مقواپی این مندلرها، به راحتی با روش روتوراشی با ماشین تراش، می‌توان قطر خارجی مندلر را به اندازه قطر داخلی نمونه رساند. همچنین پس از ساخت نمونه، با خیس کردن نمونه، مندلر به راحتی از داخل نمونه خارج شد. دلیل دیگر استفاده از نوع مندلر، عدم صرف هزینه و سهولت در تهییه این نوع مندلر و به طور کلی صرفه جویی در هزینه و زمان ساخت و تهییه مندلر بود.

<sup>۱</sup> Epikure F-205



Fig. 6 A: Tension device B: Sample between two jaws

شکل ۶ الف: دستگاه کشش. ب: نمونه بین دو فک دستگاه کشش

#### ۴- نتایج

##### ۱- مقایسه نمودارهای نیرو- جابجایی

نمودارهای نیرو- جابجایی آزمایش‌های شبه استاتیکی به دست آمده در این پژوهش به سه ناحیه تقسیم شدند (شکل ۷). ناحیه اول که مربوط به ابتدای بارگذاری تا قبل از شروع تخریب است. در این ناحیه، نمودار با شبیه تندر شروع به صعود نزولی نمودار شروع می‌شود. در این نقطه است که نمودار تسیل شده و تخریب نمونه شروع می‌شود. در ناحیه دوم، نمودار حول یک مقدار معین شروع به نوسان می‌کند که این مقدار، نیروی متوسط<sup>۱</sup> نامیده می‌شود. در این ناحیه است که نمونه، انرژی لهدگی را جذب می‌کند. در ناحیه سوم، انباستگی قسمت‌های تخریب شده، باعث افزایش بار وارد و صعود نمودار می‌شود.

در این پژوهش، آزمون شبه استاتیکی با دستگاه کشش 150KN شرکت سنتام، مطابق طراحی آزمایش صورت گرفته در جدول ۲، بر روی نمونه‌ها انجام شد. هر آزمایش، ۲ بار تکرار شد و برای بررسی نتایج، میانگین داده‌های دو آزمایش در نظر گرفته شدند. در حین انجام آزمایش، نیرو- سنجی که بر روی دستگاه قرار داشت، داده‌های نیرو بر حسب جابجایی را ثبت کرده و پس از ارسال داده‌ها به رایانه، در نرم‌افزار مربوط به دستگاه کشش، نمودار نیرو- جابجایی استخراج شد. در تمام آزمایش‌ها، پیش‌روی تخریب تا جایی که نیرو با شبیه تندر، افزایش پیدا کند، ادامه یافت. در شکل ۸، نمونه‌ای از نمودار نیرو- جابجایی برای آزمایش‌های صورت گرفته که از نرم‌افزار مربوط به دستگاه کشش استخراج شده است دیده می‌شود.

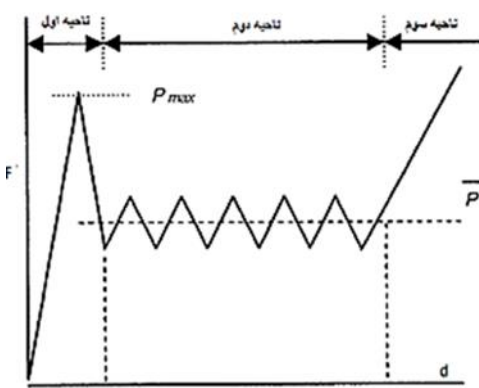


Fig. 7 force-displacement schematic of test quasi static

شکل ۷ شماتیک نمودار نیرو- جابجایی آزمون شبه استاتیکی

پس از مخلوط کردن رزین و هاردنر به میزان مشخص و آماده شدن ماتریس، الیاف به دور مندلر پیچیده شدند. در هنگام پیچیدن الیاف، یک جسم به وزن ۴ کیلوگرم به عنوان پیش بار، بر روی الیاف قرار داده شد. در هر لایه، به پیچش الیاف به دور مندلر مقوایی، مقدار مشخصی رزین توسط قلم موی نقاشی به طور یکنواخت در تمام نواحی الیاف پخش شد. در شکل ۴، مرحله پیچش لوله به دور مندلر، مشاهده می‌شود.

پس از اتمام پیچش الیاف به دور مندلر، لوله در دستگاه چرخان لوله، قرار داده شد. لوله‌ها به مدت ۳ ساعت در دستگاه، چرخانده شدند تا به پخت اولیه برسند. سپس از دستگاه خارج شده و به مدت ۵ ساعت بدون دوران در دمای محیط قرار داده شدند. پس از پخت کامل و آماده شدن لوله کامپوزیتی، مندلر از لوله‌ها خارج شد. از آنجایی که عرض الیاف ۱ متر بود، طول هر کدام از لوله‌های ساخته شده نیز ۱ متر شد و پس از ساخت، توسط اره دستی، به نمونه‌هایی با ارتفاع ۱۰ سانتی‌متر تقسیم شدند. سپس، با استفاده از دستگاه تراش، زاویه ۴۵ درجه در یک انتهای نمونه‌ها ایجاد شد (شکل ۵).

#### ۳- آزمون شبه استاتیکی

برای بررسی پارامترهای موثر بر رفتار لوله‌های کامپوزیتی تحت بارگذاری دیناییکی محوری، نمونه‌ها مطابق جدول ۱ ساخته شدند. مشخصات نمونه‌ها و تنظیمات مربوط به هر آزمایش، در این جدول گنجانده شده است. برای هر آزمایش تعداد ۲ نمونه ساخته شده تا جهت اطمینان از صحبت نتایج، هر آزمایش، دو بار انجام گیرد.

آزمون‌های شبه استاتیکی با دستگاه کشش دانشگاه تفرش انجام شد. این دستگاه ساخت شرکت سنتام با حداکثر ظرفیت 150KN است. نمونه‌ها، بین ۲ فک دستگاه قرار داده شد و سرعت پیشروی متناسب با نوع آزمون، در نرم افزار دستگاه تنظیم گردید.



Fig. 4 Fiber winding and sample manufacturing

شکل ۴ پیچش الیاف و ساخت نمونه



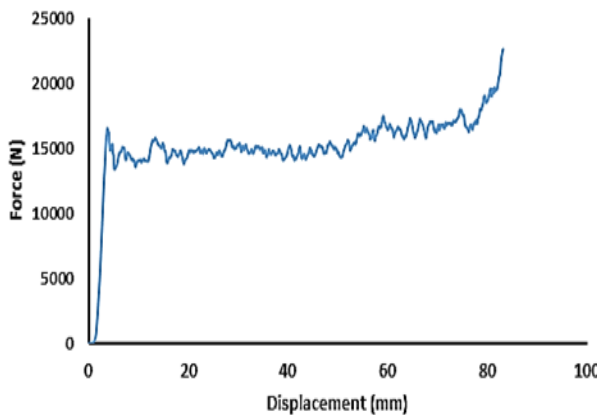
Fig. 5 chamfering with 45 degree angle at the end of samples

شکل ۵ ایجاد پیچش با زاویه ۴۵ درجه در انتهای نمونه



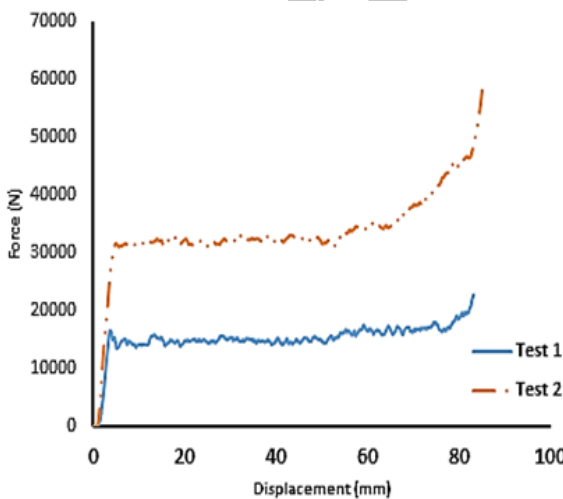
**Table 2 Specimen specs and settings for each experiment**  
**جدول ۲ مشخصات نمونه‌ها و تنظیمات مربوط به هر آزمایش**

تعداد نمونه	چگالی فوم (kg/m³)	سرعت بارگذاری (mm/min)	زاویه اندازه (درجه)	تعداد لایه	ارتفاع نمونه (میلیمتر)	ضخامت داخلی نمونه (میلیمتر)	قطر چیدمان (درجه)	زاویه الیاف (درجه)	چگالی الیاف (gr/m²)	شماره آزمایش
2	----	10	45	10	100	2.5	40	[0,90]	200	1
2	----	10	45	10	100	3	40	[0,90]	400	2
2	----	10	45	10	100	2.5	40	[±45]	200	3
2	----	10	45	10	100	3	40	[±45]	400	4
2	----	10	45	10	100	2.5	30	[0,90]	200	5
2	----	10	45	10	100	3	30	[0,90]	400	6
2	----	10	45	10	100	2.5	50	[0,90]	400	7
2	----	10	45	10	100	2.5	60	[0,90]	200	8
2	700	10	45	10	100	2.5	40	[0,90]	200	9
2	1400	10	45	10	100	2.5	40	[0,90]	200	10
2	700	10	45	10	100	3	40	[0,90]	400	11

**Fig. 9** نمودار نیرو-جابجایی آزمایش شماره ۱

شکل ۹ نمودار نیرو-جابجایی آزمایش شماره ۱

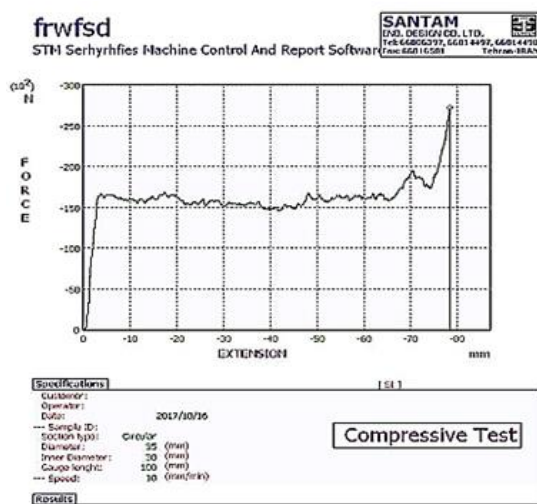
در آزمایش ۲، نمونه‌های ساخته شده با الیاف  $400 \text{ gr/m}^2$  تحت بارگذاری شباهستاتیکی قرار گرفت. تمام پارامترهای این آزمایش به جز جنس الیاف، نسبت به آزمایش شماره ۱، ثابت نگه داشته شد تا تأثیر چگالی الیاف بر میزان جذب انرژی و استحکام لوله‌های کامپوزیتی مشخص شود. در شکل ۱۰، مقایسه نمودار نیرو-جابجایی آزمایش ۱ و ۲ مشاهده می‌شود.

**Fig. 10** Comparing force-displacement diagram of test 1&2

شکل ۱۰ مقایسه نمودار نیرو-جابجایی آزمایش ۱ و ۲

در پژوهش حاضر، آزمایش شماره ۱ به عنوان آزمایش معيار قرار گرفت. تا نتایج سایر آزمایش‌ها با نتایج آزمایش ۱ مقایسه شود. با توجه به شکل ۹، مقدار حداکثر نیرو برای آزمایش ۱، برابر (N) 16400 و مقدار نیروی متوسط آن برابر (N) 15000 است. همانطور که مشاهده می‌شود، مقدار حداکثر نیرو و نیروی متوسط، اختلاف زیادی با یکدیگر ندارند و از این موردن، می‌توان نتیجه گرفت که نمونه‌های ساخته شده برای این آزمایش، برای استفاده به عنوان جاذب انرژی مناسب هستند. چرا که در نمونه‌هایی که سطح نیروی متوسط لهش‌گی، بسیار پایین تر از میزان حداکثر نیرو در ناحیه اول باشد، مشخص می‌شود که پس از افزایش نیرو در تابعه اول، یک شکست فاجعه بار در نمونه، رخ داده است که باعث افت شدید نیرو در ادامه روند نمودار گشته و همین شکست، باعث کاهش سطح استحکام باقیمانده نمونه می‌شود.

از حدود 52 میلیمتر پس از تخریب نمونه، به دلیل اجتماع تکه‌های تخریب شده در داخل نمونه و مقاومت در برابر نیروی وارد، نمودار نیرو-جابجایی کم کم شروع به بالا رفتن کرده است. پس از 82 میلیمتر، تخریب نیز، مقدار تکه‌های انباسده شده در داخل نمونه به قدری زیاد می‌شود که مانع از ادامه روند تخریب نمونه شده و افزایش نیرو پس از آن، به دلیل مقاومت این تکه‌های انباسته در مقابل نیرو است.

**Fig. 8** force-displacement diagram of Tensile devise software

شکل ۸ نمودار نیرو-جابجایی استخراج شده از نرم‌افزار دستگاه کشش

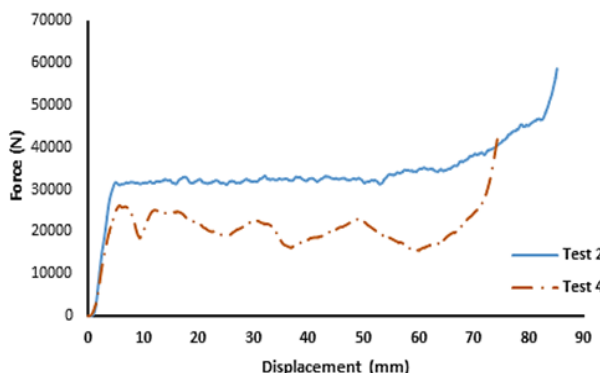


Fig. 12 Comparing force-displacement diagram of 2&amp;4

شکل ۱۲ مقایسه نمودار نیرو-جابجایی ۲ و ۴

در هر دو نمودار نیرو-جابجایی، نمودار پس از ناحیه اول و رسیدن به اوج بار، یک سقوط محسوس دارد (نشانگر A). این سقوط احتمالاً به دلیل ایجاد یک ترک عمیق و یا شکستگی در داخل نمونه برای ماتریس است و در جایی که این شکست به الیاف با زاویه 45 درجه می‌رسد، الیاف مقاومت کرده و نمودار دوباره صعود می‌کند. این مسئله در ناحیه دوم نمودارها نیز قابل روئیت است و نوسان هر دو نمودار حول نیروی متوسط، شدیدتر از نمودارهای معیار آزمایش ۱ و ۲ است. زیرا در این ناحیه نیز، به دلیل اینکه الیاف در راستای اعمال نیرو نیستند، نیرو بیشتر توسط ماتریس به بدنه الیاف منتقل می‌شود و در این میان در بعضی نقاط، ماتریس دچار شکست ناگهانی و یا ترک عمیق می‌شود که این مسئله، باعث افت شدید نیرو در برخی نواحی در نمودارها می‌شود.

نکته حائز اهمیت در نمودار نیرو-جابجایی این دو آزمایش، افت شدید نمودار در انتهای ناحیه دوم دقیقاً قبل از افزایش نیرو در اثر اجتماع تکه‌های جدا شده است. این مسئله نشان دهنده کاهش مقاومت لوله قبل از تخریب شدن بیش از 50 درصد طول نمونه است. البته در نمودارهای آزمایش ۳ و ۴ کاملاً دیده می‌شود که شبیه کلی نمودار در ناحیه دوم به سمت پایین است و هرچه نمونه‌ها بیش تر تخریب می‌شوند، نیروی لهدگی کاهش می‌یابد. از این امر، می‌توان نتیجه گرفت که در نمونه‌های دارای چیدمان  $[45^\circ]$ ، مقدار جذب انرژی می‌تواند به پارامتر طول لوله نیز بستگی داشته باشد. بدین صورت که با افزایش طول لوله در این نمونه‌ها، احتمالاً نیروی متوسط لهدگی نیز افزایش می‌یابد.

در آزمایش ۵ تا ۸، به بررسی تأثیر قطر لوله بر میزان جذب انرژی پرداخته شده است. قطر داخلی نمونه‌های ساخته شده با الیاف  $200\text{ gr/m}^2$  در آزمایش ۵ مقدار 30 میلیمتر، در آزمایش ۷ برابر 50 میلیمتر و در آزمایش ۸ برابر 60 میلیمتر در نظر گرفته شده است. در شکل ۱۳ مقایسه بین نمودارهای نیرو-جابجایی این سه آزمایش با آزمایش ۱ مشاهده می‌شود.

با توجه به شکل ۱۳ به وضوح مشخص است که با افزایش قطر داخلی نمونه‌ها، هم حداکثر نیروی اولیه و هم نیروی متوسط، افزایش می‌یابد. البته شایان ذکر است که با افزایش قطر نمونه و ثابت ماندن تعداد لایه‌ها، وزن نمونه افزایش پیدا کرده و این امر در افزایش نیروی قابل تحمل از طرف نمونه، تاثیرگذار است. بررسی تأثیر قطر در میزان جذب انرژی برای نمونه‌های ساخته شده از الیاف 400 نیز انجام شد. در آزمایش ۶، دو نمونه با الیاف 400 و قطر 30 میلیمتر ساخته و تحت آزمایش شبه استاتیکی قرار گرفت. مقایسه بین نمودار حاصل از این آزمایش و آزمایش ۲، در شکل ۱۴ قابل مشاهده است.

همانطور که در شکل ۱۰ دیده می‌شود، حداکثر نیرو و نیروی متوسط نمونه‌های ساخته شده با الیاف  $400\text{ gr/m}^2$  حدود 2 برابر نمونه های  $200\text{ gr/m}^2$  است و این نشان می‌دهد که با افزایش چگالی الیاف، به دلیل این که الیاف با تراکم بالاتر، استحکام بالاتری دارند، میزان مقاومت و انرژی جذب شده نیز افزایش چشمگیری می‌یابد. همچنان ملاحظه می‌شود که در قسمت انتهای ناحیه ۲ (از حدود 60 میلیمتر به بعد) شبیه افزایش نمودار برای آزمایش ۲، بیشتر از آزمایش ۱ است که دلیل آن اجتماع بیشتر قسمت‌های لهشده در داخل نمونه برای نمونه آزمایش ۲ سطح مقطع نمونه‌ها نیز است. زیرا با افزایش چگالی الیاف در آزمایش ۲، مقدار کامپوزیت تخریب شده و تجمع یافته در درون نمونه برای آزمایش ۲ بیشتر از ۱ می‌باشد.

در آزمایش ۳ و ۴، به بررسی تأثیر چیدمان الیاف بر میزان جذب انرژی نمونه‌های کامپوزیتی پرداخته شد. بدین منظور در آزمایش ۳، نمونه‌ها با الیاف  $200\text{ g/m}^2$  و چیدمان  $[45^\circ]$  و در آزمایش ۴، نمونه‌ها با الیاف  $400\text{ g/m}^2$  و چیدمان  $[45^\circ]$  ساخته شده و تحت آزمایش شباهت‌ستاتیکی قرار گرفتند. در شکل ۱۱ و ۱۲، مقایسه نمودارهای نیرو-جابجایی برای این دو آزمایش با آزمایش‌های ۱ و ۲ قابل مشاهده است.

همانطور که در شکل ۱۱ و ۱۲ دیده می‌شود، با تغییر زاویه الیاف در چیدمان نمونه، هم حداکثر نیرو و هم نیروی متوسط لهدگی کاهش می‌یابد. چرا که با تغییر چیدمان الیاف از  $[0,90^\circ]$  به  $[45^\circ]$  در ابتدای بارگذاری، نیروی محوری وارد شده به نمونه، با زاویه 45 درجه به به الیاف انتقال پیدا می‌کند. این در حالی است که در چیدمان  $[0,90^\circ]$ ، نیروی محوری وارد، با زاویه ۰ درجه به الیاف در راستای طولی انتقال می‌یابد و از آنجایی که بیشتری آستانه تحمل الیاف در برابر نیرو، زمانی است که الیاف دقیقاً در راستای نیرو باشند، پس با تغییر زاویه، آستانه تحمل الیاف، کاهش پیدا کرده و حداکثر نیروی نمودار قبل از شروع شکست نمونه، کاهش می‌یابد. همچنین به دلیل آنکه در نمونه‌ها با زاویه الیاف  $[45^\circ]$  نیز، تخریب از نوع پیشرونده است، میزان نیروی متوسط لهدگی در ناحیه دوم نمودار، با میزان حداکثر نیرو، فاصله کمی داشته و بدین ترتیب میزان پارامتر نیروی متوسط لهدگی در نمونه با الیاف  $[45^\circ]$  نسبت نمونه با الیاف  $[0,90^\circ]$  کاهش می‌یابد.

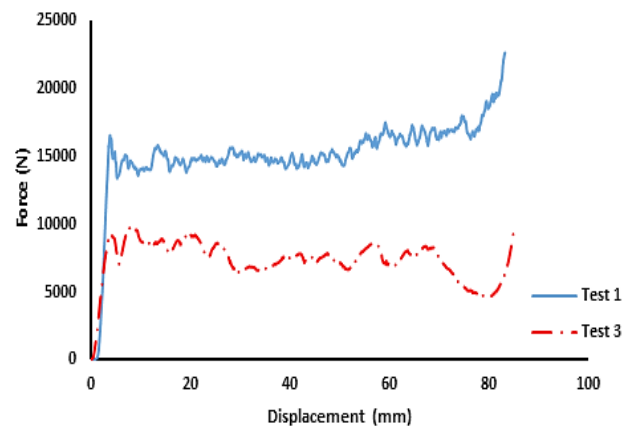


Fig. 11 Comparing force-displacement diagram of test 1&amp;3

شکل ۱۱ مقایسه نمودار نیرو-جابجایی آزمایش ۱ و ۳

آزمایش ۱) و این نشان می‌دهد که افزایش چگالی فوم و یا استفاده از فوم‌هایی با چگالی بالاتر، باعث بهبود معنی دار میزان جذب انرژی می‌شود. همچنین در نمودار آزمایش ۱۰ در شکل ۱۵، ملاحظه می‌شود که نمودار پس از حدود ۶۰ میلیمتر تخریب شدن نمونه، دچار سقوط می‌شود و این سقوط تا جایی ادامه پیدا می‌کند که نمودار در اثر اجتماع تکه‌های جدا شده دوباره افزایش پیدا می‌کند. دلیل این سقوط را میتوان مربوط به چگالی فوم دانست. چون فوم استفاده شده در آزمایش ۶۰، تراکم بیشتری دارد، با افزایش له شدگی نمونه، متراکم تر می‌شود. تا جایی که این تراکم باعث می‌شود تا از طرف داخل به دیواره نمونه فشار وارد شده و برای تخریب نمونه نیروی محوری کمتری لازم باشد. زیرا بخشی از نیروی تخریب، توسط فشار وارد از فوم متراکم به دیواره نمونه تأمین می‌شود.

##### ۵- جذب انرژی

توانایی جذب انرژی در لوله‌های کامپوزیتی در طول فرآیند آزمایش‌های شبه‌استاتیکی با چند پارامتر مشخص می‌شوند که عبارتند از: انرژی جذب شده کلی: برابر است با مساحت زیر نمودار نیرو - جابجایی که به مساحت سطح مقطع نمونه و چگالی نمونه وابسته است و با E نشان داده می‌شود. این پارامتر با انتگرال گیری عددی از نمودار نیرو - جابجایی به دست می‌آید [۱۹].

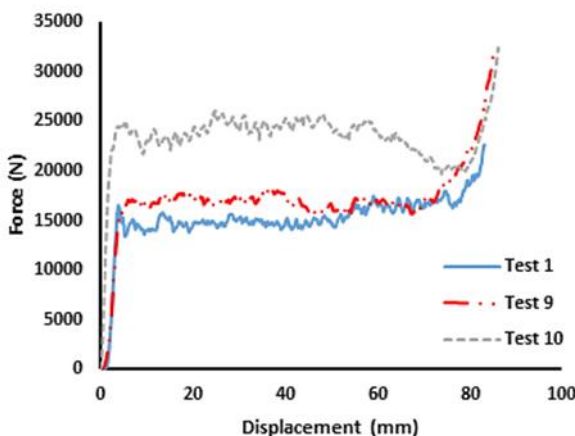


Fig. 15 Comparing force-displacement diagram test 9&amp;10with 1

شکل ۱۵ مقایسه نمودار نیرو-جابجایی آزمایش ۹ و ۱۰ و آزمایش ۱

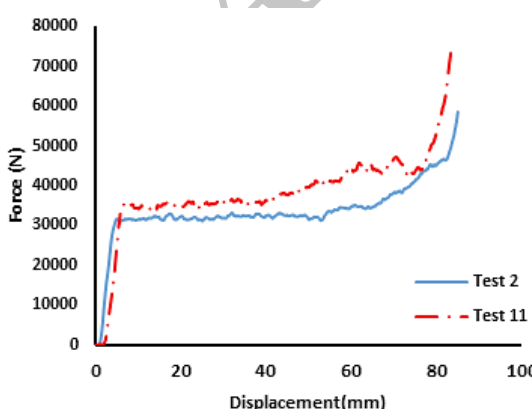


Fig. 16 Comparing force-displacement diagram test 11with 2

شکل ۱۶ مقایسه نمودار نیرو-جابجایی ۲ و ۱۱

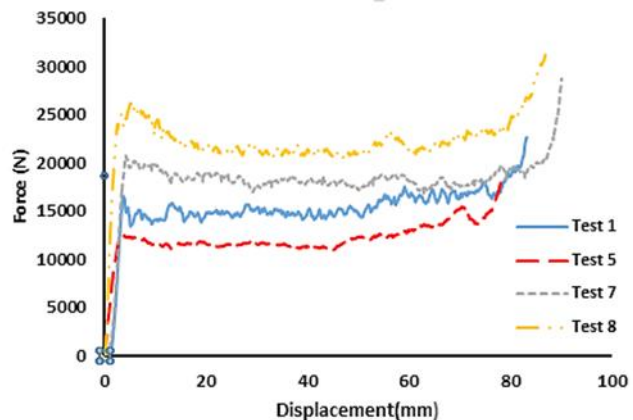


Fig. 13 Comparing force-displacement diagram of test 5 &amp; 7 &amp; 8 with 1

شکل ۱۳ مقایسه نمودار نیرو-جابجایی آزمایش ۵ و ۷ و ۸ با آزمایش ۱

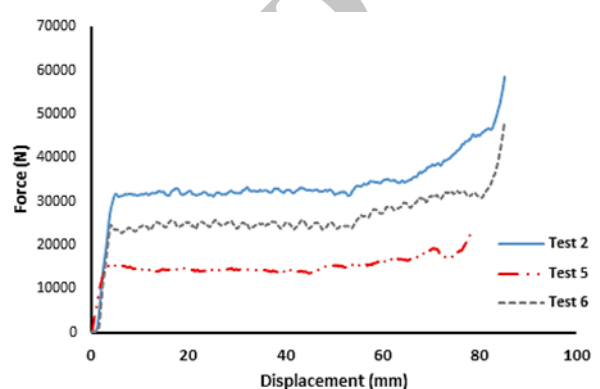


Fig. 14 Comparing force-displacement diagram of test 6 with 5 &amp; 2

شکل ۱۴ مقایسه نمودار آزمایش ۶ با آزمایش ۵ و ۲

همانطور که از شکل ۱۴ مشخص است، در نمونه‌های ساخته شده با الیاف ۴۰۰ gr/m<sup>2</sup> نیز تغییر قطر، سبب تغییر نیروی اولیه شکست و متوسط نیروی له شدگی می‌شود. همچنین مقایسه نمودار نیرو-جابجایی دو آزمایش ۵ و ۶ در شکل ۱۴ نیز نشان می‌دهد که تاثیر چگالی الیاف بر میزان انرژی جذب در آزمایش‌های شبه استاتیکی محوری، مستقل از قطر لوله کامپوزیتی است.

یکی از مباحث تحقیق در این پژوهش، بررسی تأثیر وجود فوم در داخل لوله و تغییر چگالی فوم، بر روی میزان جذب انرژی نمونه‌ها تحت بارگذاری شبه استاتیکی محوری بود. بدین منظور از یک فوم پلی اورتان سخت، برای پر کردن داخل لوله‌ها استفاده شد. چگالی فوم پر شده در نمونه‌های آزمایش ۹ و ۱۱ برابر 700 Kg/m<sup>3</sup> و در آزمایش ۱۰ برابر 1400 Kg/m<sup>3</sup> می‌باشد. در شکل ۱۵ و ۱۶، مقایسه نمودارهای نیرو-جابجایی آزمایش‌های صورت گرفته با نمونه‌های دارای فوم و نمونه‌های بدون فوم نشان داده شده است.

در هر دو شکل ۱۵ و ۱۶ ملاحظه می‌شود که نمونه‌های پر شده با فوم چگالی کمتر، تاثیر کمی (حدود ۱۰ درصد) در افزایش حداکثر نیرو و نیروی متوسط له شدگی دارند. این نشان می‌ردد که تاثیر فوم با چگالی 700 Kg/m<sup>3</sup> بر روی بهبود جذب انرژی لوله‌های کامپوزیتی ناجیز است. ولی همان‌طور که در نمودار شکل ۱۸ برای آزمایش ۱۰ دیده می‌شود، با او برابر شدن چگالی فوم پر شده در داخل نمونه، میزان متوسط نیروی له شدگی و حداکثر نیرو، به شدت افزایش می‌یابد (حدود ۶۵ درصد بیشتر نسبت به

## ۶- مود شکست

برای نمونه‌های تحت آزمون شبه استاتیکی ، مود شکست در اکثر نمونه‌ها به صورت شکست ترد همراه با مود بازشدنی پیش‌رونده بود. در این آزمایش‌ها ، به دلیل سرعت پایین بارگذاری نسبت به آزمون‌های ضربه انجام شده در پژوهش‌های محققین، شکست پیش‌رونده در نمونه‌ها منظم تر اتفاق افتاده و همین امر باعث می‌شود تا نمودار نیرو-جابجایی برای نمونه‌های آزمایش شبه استاتیکی، پس از اندکی جابجایی به سمت بالا، با نوسانات منظم ، ادامه یابد. عامل جذب انرژی در این نمونه‌ها، شکست ماتریس در جهت محوری ( شکل 18-الف ) ، برش الیاف و جدایش بسته‌های لایه‌های کامپوزیتی از همدیگر ( شکل 18-ب ) و نیز ترک‌های عمیق طولی در راستای الیاف بود. در طی آزمون‌ها، مشاهده شد که تکه‌های ریز ماتریس و قطعات کوچک الیاف، از نمونه جدا شده و بر روی فک دستگاه کشش تجمع کردند. نیروی شبه استاتیکی وارد بر نمونه‌ها، باعث خم شدن لایه‌ها به صورت برگی از ساقه، به داخل و بیرون نمونه و در نهایت ایجاد شکستگی در طول نمونه‌ها شد. عامل جذب انرژی در این نمونه‌ها، شکست ماتریس در جهت محوری ( شکل 18-الف ) ، برش الیاف و جدایش بسته‌های لایه‌های کامپوزیتی از همدیگر ( شکل 18-ب ) و نیز ترک‌های عمیق طولی در راستای الیاف بود. در طی آزمون‌ها، مشاهده شد که تکه‌های ریز ماتریس و قطعات کوچک الیاف، از نمونه جدا شده و بر روی فک دستگاه کشش تجمع کردند. نیروی شبه استاتیکی وارد بر نمونه‌ها، باعث خم شدن لایه‌ها به صورت برگی از ساقه ، به داخل و بیرون نمونه و در نهایت ایجاد شکستگی در طول نمونه‌ها شد. این خم شدگی به سمت داخل، باعث تجمع قطعه‌های کامپوزیتی در داخل نمونه شد که این امر در طول بارگذاری نمونه، باعث افزایش ناگهانی نیرو و صعود نمودار نیرو-جابجایی در انتهای نمودار شد.

در طی آزمایش‌های شبه استاتیکی فوق ملاحظه شد که وضعیت تخریب نمونه‌هایی که با چیدمان الیاف با زاویه  $[ \pm 45^\circ ]$  ساخته شده‌اند با نمونه‌های ساخته شده با چیدمان  $[ 0,90^\circ ]$  متفاوت است.

از همان شروع ایجاد تخریب در نمونه، تکه‌های بزرگی از نمونه جدا شدند ( شکل 19-ب ). در ادامه بارگذاری، مود شکست به صورت لهشدنی نامتوازن و خرد شدنی تکه‌های بزرگ ، ظاهر می‌شود ( شکل 19-ج ) . پس از باربرداری و فاصله گرفتن فک‌های دستگاه کشش از همدیگر، نمونه تکه تکه شده همراه با خرد شدنی شدید ماتریس و شکست الیاف در جهت طولی و راستای الیاف، مشاهده شد ( شکل 19-د ). برای نمونه‌های ساخته شده با الیاف  $gr/m^2$  400 و چیدمان  $[ \pm 45^\circ ]$  ( شکل 20-الف ) نیز، وضعیت تخریب، متفاوت بود. در شروع بارگذاری، پس از تخریب ناحیه پیخ خورده، نیروی لهشدنی افزایش یافت و این افزایش نیرو، باعث به وجود آمدن ترک ماتریس در راستای الیاف شد ( شکل 20-ب ). با افزایش نیرو، این ترک‌ها عمیق تر شده و تخریب نمونه شروع شد ( شکل 20-ج ) . در این مرحله، علاوه بر شکست ماتریس ، برش الیاف نیز اتفاق افتاد. در ادامه بارگذاری مشاهده شد که نمونه با مود تا شدنی شدگی با الگوی خاص، دچار تخریب شد ( شکل 20-د ). این وضعیت تخریب، همانند تخریب نمونه‌های فلزی در پژوهش برخی محققان بود. پس از اتمام بارگذاری و جدا شدن فک‌های دستگاه کشش از همدیگر، مشاهده شد که نمونه به آهستگی و با حالت فنری، در راستای طولی منبسط شد. این حالت، شبیه لهشدنی یک فنر و باز شدنی آن پس از حذف نیروی فشاری بود. با بررسی روند ساخت و مشخصات نمونه‌های دو آزمایش 3 و 4، علت تفاوت مود شکست برای نمونه‌های این دو آزمایش

بازده ضربه: خردشدن یک لوله، متجر به تراکم لوله می‌شود. این امر باعث افزایش مداوم سطح نیروی بارگذاری شده همزمان باعث افزایش تغییر شکل می‌شود. تغییر شکل نسبی لوله که در آن فشردنی اتفاق می‌افتد به عنوان بازده ضربه مشخص می‌شود و با  $SE$  نشان داده می‌شود.

$$SE=u/h \quad (1)$$

در این معادله ،  $u$  برابر با طول لهشدنی لوله و  $h$  ارتفاع لوله است [21-22]. انرژی جذب شده ویژه: برای مقایسه نمونه‌ها با هندسه و یا جنس متفاوت، مقایسه این پارامتر ضروری است. انرژی جذب شده ویژه برابر است با میزان جذب انرژی واحد جرم ماده جاذب و با  $SEA$  مشخص می‌شود.

$$SEA = \frac{p_m}{A\rho} \quad (2)$$

در این معادله،  $P_m$  برابر میانگین بار لهشدنی،  $A$  برابر مساحت سطح مقطع و  $\rho$  چگالی لوله کامپوزیتی است [20].

هدف از انجام آزمون‌های شبه استاتیکی فوق ، بررسی میزان جذب انرژی توسط نمونه‌های ساخته شده برای هر آزمایش در بارگذاری شباهستیکی محوری بود. بدین منظور، با انتگرال گیری عددی از داده‌های نمودار نیرو-جابجایی تا زمان تخریب نمونه و قبل از افزایش نهایی نیرو، برای هر آزمایش، میزان انرژی جذب شده بدست آمده و در جدول 2 گنجانده شد. همانطور که در جدول 2 مشاهده می‌شود، مقادیر پارامتر انرژی جذب شده ویژه با استفاده از معادله 2 برای تمام آزمایش‌ها محاسبه شده است و مقایسه بین کارایی جذب انرژی نمونه‌ها با مقایسه این پارامتر صورت می‌گیرد. همچنان در شکل 20 نمودار ستونی مقادیر جذب انرژی ویژه، برای تمام آزمایش‌های صورت گرفته، آورده شده است.

از نتایج به دست آمده در جدول 3 و شکل 17 ملاحظه می‌شود که نمونه‌های آزمایش 2 بیشترین جذب انرژی در طول تخریب را داشته اند. چرا که نمونه‌های این آزمایش، با الیاف مقاوم و چگالی بالاتر ساخته شده اند که برای تخریب، نیازمند نیروی متوسط لهشدنی بیشتری نسبت به سایر نمونه‌ها هستند. این مسدله در نمودار نیرو-جابجایی این آزمایش نیز مشاهده شد. اما برای پارامتر انرژی جذب شده ویژه، بیشترین مقدار مربوط به نمونه‌های پرشده با فوم در آزمایش 11 می‌باشد. البته میزان اختلاف مقادیر انرژی جذب شده ویژه برای دو آزمایش 11 و 2 بسیار انک است و این نشان می‌دهد که استفاده از فوم با چگالی 700، تاثیر عکس بر کارایی جذب انرژی ویژه لوله‌های کامپوزیتی دارد. اما با مقایسه نتایج جذب انرژی ویژه دو آزمایش 10 و 1 می‌توان دریافت که با افزایش چگالی فوم اینگاهه شده در ساخت لوله‌های کامپوزیتی، اثری جذب شده ویژه لوله در آزمون شباهستیکی به طور معنی داری افزایش می‌یابد

برای نمونه‌های ساخته شده با چیدمان الیاف  $[ \pm 45^\circ ]$  ، مشاهده می‌شود که میزان جذب انرژی ویژه در مقایسه با نمونه‌های ساخته شده با چیدمان  $[ 0,90^\circ ]$  به شدت کاهش یافته است. ازین رو می‌توان نتیجه گرفت که در لوله‌های کامپوزیتی، تغییر زاویه چیدمان الیاف دو بعدی از  $[ 0,90^\circ ]$ ، باعث کاهش کارایی آن‌ها به عنوان جاذب انرژی می‌گردد. همچنان بررسی تاثیر قطر داخلی نمونه بر میزان جذب انرژی ویژه لوله کامپوزیتی در شکل 17 نشان داد که با افزایش قطر لوله‌های کامپوزیتی از 30 میلیمتر تا 60 میلیمتر، افزایش نسبتاً کم میزان انرژی جذب شده ویژه را به دنبال خواهد داشت.

نمونه با فوم، بر روی میزان جذب انرژی نمونه‌های ساخته شده از جنس الیاف شیشه و رزین اپوکسی که تحت بارگذاری شبه‌استاتیکی با سرعت 10 میلیمتر بر دقیقه با دستگاه کشش دانشگاه تفرش بودند، مورد مطالعه قرار گرفت.

نتایج حاصل از آزمایش‌های انجام شده به شرح زیر هستند: تغییر چگالی الیاف به کارگفته در ساخت نمونه‌ها از  $400 \text{ gr/m}^2$  به  $200 \text{ gr/m}^2$  در عین داشتن تعداد لایه و ارتفاع یکسان، در طی آزمایش بارگذاری شبه‌استاتیکی محوری، باعث شد تا هم حداکثر نیروی وارد و هم نیروی متوسط له شدگی، 2 برابر می‌شود.

نتایج بررسی برای تأثیر زاویه چیدمان الیاف در ساختار نمونه بر روی میزان جذب انرژی در بارگذاری شبه‌استاتیکی محوری نشان داد که تغییر چیدمان از  $[0,90^\circ]$  به  $[\pm 45^\circ]$ ، باعث افت سطح نیروی موردنیاز جهت تخریب نمونه و در نتیجه افت کارایی جذب انرژی آن‌ها شد.

افزایش قطر داخلی نمونه‌ها از 40 میلیمتر تا 60 میلیمتر، باعث افزایش مقاومت آن‌ها در مقابل بارگذاری شبه‌استاتیکی و همچنین افزایش سطح نیودار نیرو-جایجایی شد. ولی با توجه به این که وزن نمونه‌ها با افزایش قطر، افزایش پیدا کرد، میزان جذب انرژی ویژه افزایش معنی‌داری نداشت.

مشخص شد. ظاهرا کسر حجمی الیاف در ساختار نمونه، بیشترین تأثیر را در تفاوت مود شکست برای این دو آزمایش داشت. نمونه‌های ساخته شده با الیاف  $200 \text{ gr/m}^2$  در آزمایش 3، دارای 50 درصد کسر حجمی الاف در ساختار خود بودند. به همین دلیل در طی بارگذاری شبه‌استاتیکی، نیروی وارد از طریق ماتریس به بدنه الیاف منتقل شده و این امر سبب شکستن ساخته شده با الیاف  $400 \text{ gr/m}^2$ ، کسر حجمی الیاف حدود 63 درصد و ماتریس حدود 37 درصد بود.

واضح است که با افزایش کسر حجمی الیاف، مقاومت نمونه نیز افزایش می‌یابد. به همین دلیل نمونه‌های آزمایش 4 برخلاف آزمایش 3، با شکستگی و جدا شدگی تکه‌های بزرگ، همراه نبودند. بلکه به علت اینکه نیروی وارد با زاویه 45 درجه به بدنه الیاف وارد شد، این امر سبب خم شدگی و تا شدن نمونه در الگوی خاص تا انتهای بارگذاری بود.

## ۷- نتیجه گیری

در پژوهش حاضر، پارامترهای موثر بر رفتار لوله‌های کامپوزیتی تحت بارگذاری شبه‌استاتیکی محوری بررسی شد. در این تحقیق، تأثیر پارامترهای نظیر چگالی الیاف، قطر داخلی نمونه، زاویه چیدمان الیاف و پرکردن داخل

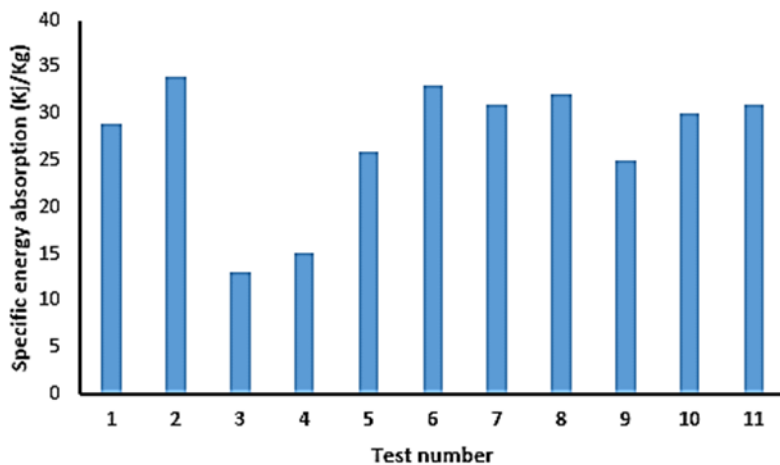


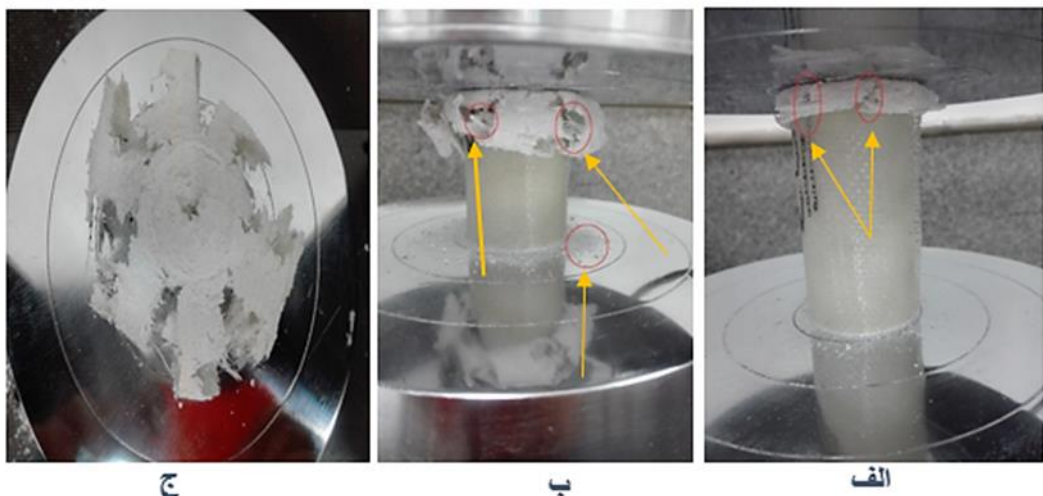
Fig. 17 Column graph of energy absorption and specific energy absorption for quasi-static tests

شکل ۱۷ نمودار ستونی میزان جذب انرژی و جذب انرژی ویژه برای آزمون‌های شبه‌استاتیکی

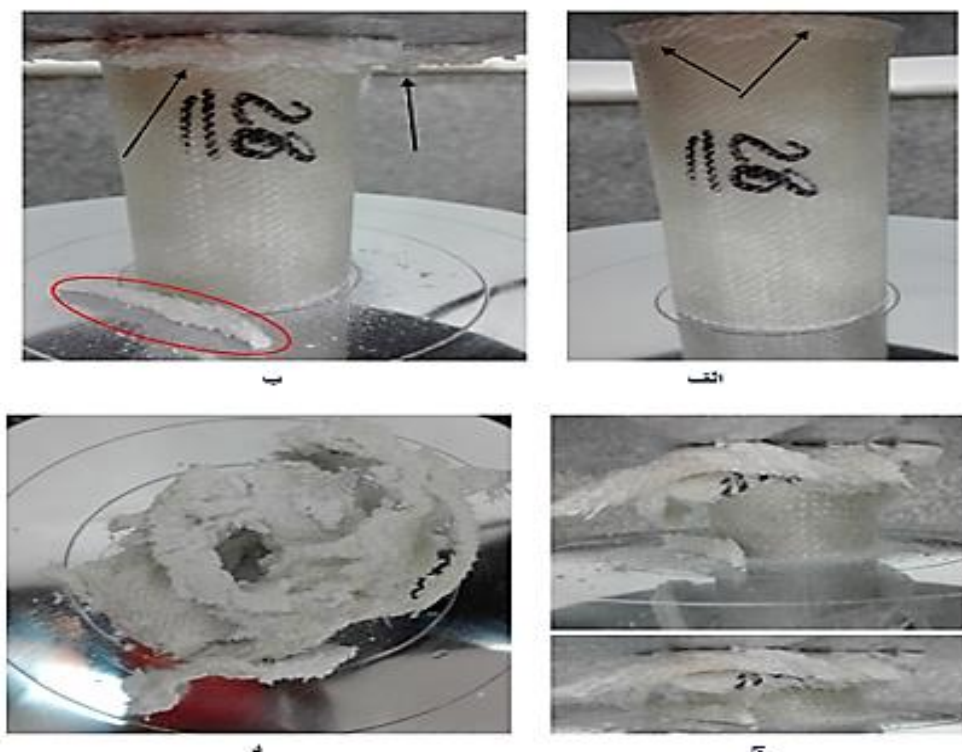
جدول ۳ نتایج آزمایش‌های شبه‌استاتیکی

Table 3 Results of quasi-static tests

شماره آزمایش	چگالی الیاف (g/m <sup>2</sup> )	تعداد لایه‌ها	ارتفاع نمونه (میلیمتر)	میزان تخریب (Pm) (کیلو نیوتون)	نیروی متوسط تخریب (Pm) (کیلو نیوتون)	انرژی جذب شده (ژول)	انرژی جذب شده (KJ/Kg)	بازده ضریب (SE) (درصد)
1	200	10	100	82	82	1260.73	29	82
2	400	10	100	81	81	2669.75	34	81
3	200	10	100	80	80	595.3	13	80
4	400	10	100	60	60	1198.5	15	60
5	200	10	100	76	76	916.11	26	76
6	200	10	100	81	81	2058	33	81
7	200	10	100	86	86	1554.1	31	86
8	200	10	100	83	83	1814.2	32	83
9	200	10	100	81	81	1350.8	25	81
10	200	10	100	79	79	1840.04	30	79
11	400	10	100	76	76	2770.4	31	76



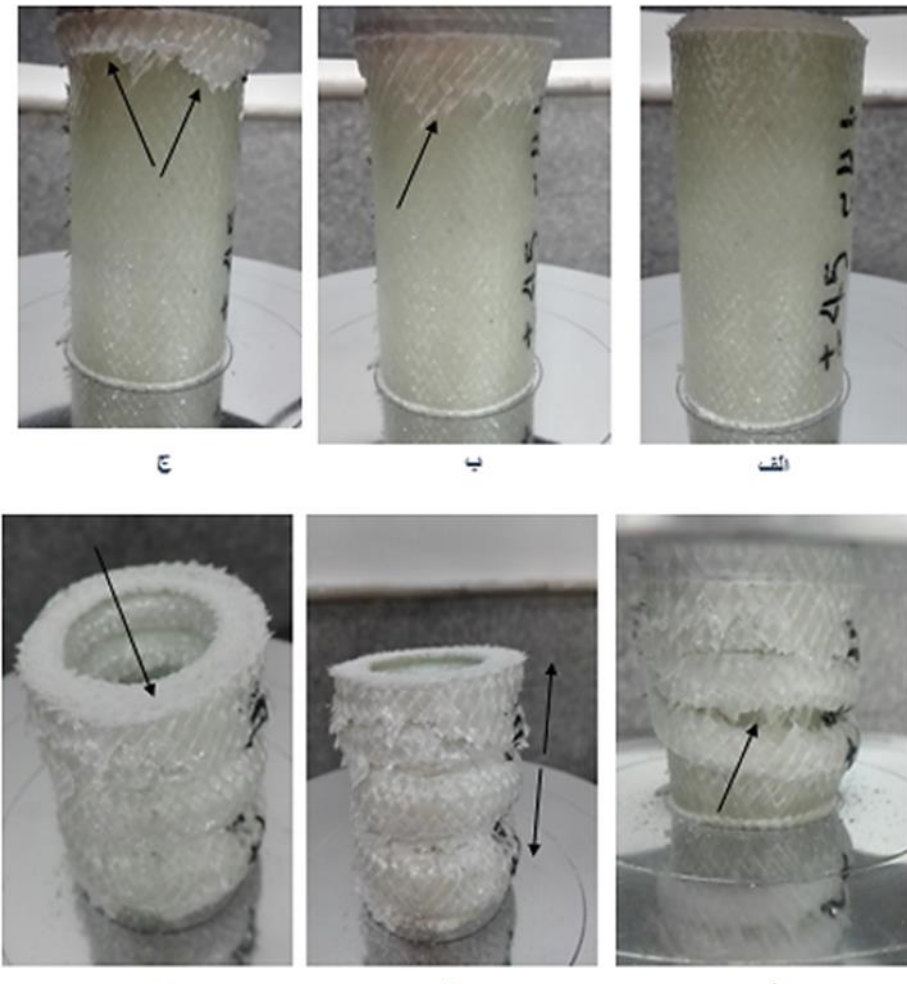
**شکل ۱۸** شکست در آزمون شبه استاتیکی. **الف:** شکست ماتریس در جهت محوری. **ب:** برش الیاف و جداش کامپوزیت. **ج:** خم شدگی به داخل و بیرون.



**شکل ۱۹** شکست نمونه با چگالی الیاف 200 گرم بر مترمربع با زاویه چیدمان [ $\pm 45^\circ$ ]. **الف:** ترک در راستای الیاف در شروع شکست. **ب:** جدا شدن تکه های کامپوزیت.

برای نمونه های با چگالی الیاف 400 گرم بر مترمربع و زاویه چیدمان [ $\pm 45^\circ$ ]، مود له شدگی به شکل مود تا شدگی با الگوی خاص بود که شبیه تخریب نمونه های فلزی گزارش شده توسط سایر محققان می باشد. از نتایج این پژوهش، میتوان در صنایع مختلفی جهت به دست آوردن پاسخ سازه های استوانه ای شکل کامپوزیتی در برابر بارگذاری شبه استاتیکی محوری استفاده کرد. به طور مثال در صنایع نظامی برای پیش بینی رفتہ ارایه فرود هواییما و یا بالگرد، در هنگام فرود می توان از نتایج فوق، بهره برد.

جهله شدگی نامتوازن و خرد شدن نمونه . **د:** نمونه خرد شده پس از بارگذاری در آزمایش های شبه استاتیکی به بررسی تأثیر فوم پلی اورتان یخچالی سرد بر میزان جذب انرژی لوله های کامپوزیتی نیز پرداخته شد و نتایج نشان داد که فوم با چگالی  $700 \text{ Kg/m}^3$ ، تأثیر کمی بر میزان تحمل نیروی وارد داشت که این مسئله باعث کاهش نسبتا کم جذب انرژی ویژه نمونه ها شد. ولی با افزایش چگالی فوم تا  $1400 \text{ Kg/m}^3$ ، هم مقاومت نمونه در مقابل بارگذاری صورت گرفته و هم میزان جذب انرژی ویژه افزایش پیدا کرد.



**Fig. 20** Specimen failure with fiber density of 400 g/m<sup>2</sup> and angle of alignment [ $\pm 45$ ]. A: Sample before loading. B: Crack in the direction of the fibers. C: Breaking the fibers at 45 degrees and 0 degrees. D: Modal failure pattern with specific pattern. E, and F: Extension of the sample length after loading.

شکل ۲۰ شکست نمونه با چگالی الیاف 400 گرم بر مترمربع و زاویه چیدمان [ $\pm 45$ ] . ا. نمونه قبل از بارگذاری . ب: بوجود آمدن ترک در جهت الیاف . ج : شکست الیاف با زاویه 45 و 0 درجه. د: مود شکست تا شدگی با الگوی خاص . ه ، و: انبساط طولی نمونه پس از برداری.

Technology, Volume 40, Issue 4, Pages 377-421, ISSN 0266-3538, 1991.

- [7] Song, H. W. Wan, Z. M. Xie, Z. M. and Du, X. W., "Axial Impact Behavior and Energy Absorption Efficiency of Composite Wrapped Metal Tubes" International Journal of Impact Engineering, 24(4), 385-401, 2000.
- [8] Okano, M. Sugimoto, K. Saito, H. Nakai, A. Hamada, H., "Effect of the Braiding Angle on the Energy Absorption Properties of a Hybrid Braided FRP Tube". Proceedings of the Institution of Mechanical Engineers, Part L: Journal of Materials: Design and Applications, 219(1), 59-66. 2005
- [9] Karagiozova, M. Alves, N. Jones, "Inertia Effects in Axisymmetrically Deformed Cylindrical Shells under Axial Impact", International Journal of Impact Engineering, Vol. 24, pp. 1083-1115, 2000.
- [10] Mirzaei, M. Shakeri, M. Sadighi, M. and Akbarshahi, H., "Experimental and Analytical Assessment of Axial Crushing of Circular Hybrid Tubes Under Quasi-Static Load, Composite Structures", Volume 94, Issue 6, Pages 1959-1966, ISSN 0263-8223, 2012.
- [11] Matthew David, Alastair F. and Johnson, "Effect of Strain Rate on the Failure Mechanisms and Energy Absorption in Polymer Composite Elements under Axial Loading" Composite Structures, Volume 122, Pages 430-439, ISSN 0263-8223, 2015.
- [12] Sadeghi, M. and Pol, M. H., "Investigation of Behaviors of Glass/epoxy Laminate Composites Reinforced with Carbon Nanotubes under Quasi-static Punch Shear Loading" Journal of Sandwich Structures & Materials: 1099636217719223, 2017.

#### - مراجع -

- [1] Sadeghi, M. and Pol, M. H., "Experimental Investigation of the Effect Effective Of Factors and Parameters on the Punch on the Properties of Quasi-Static Punching Shear the Glass/Epoxy Composite" Journal of Science and Technology of Composites, Vol. 2, No. 4, pp. 13-22, 2016. (In Persian)
- [2] Rahimi-Sharafab, H. Rahimi, G. H. and Liaghhat, G. H., "Experimental Study of Behavior of Filament Winding Composite Pipes With Liner Using Glass Fibers and Silica Nanoparticles Under Impact Loading" Journal of Science and Technology of Composites, Vol. 3, No. 4, pp. 311-320, 2017. (In Persian)
- [3] Pol, M. H. and Liaghhat, G. H., "Studies on the Mechanical Properties of Composites Reinforced with Nanoparticles" Polymer Composites 38.1: 205-212, 2017. (in Persian)
- [4] Kakogiannis, D. Chung Kim Yuen, S. Palanivelu, S. Van Hemelrijck, D. Van Paepengem, W. Wastiels, J. Vantomme, J. and Nurick, G. N., "Response of Pultruded Composite Tubes Subjected to Dynamic and Impulsive Axial Loading", In Composites Part B: Engineering, Volume 55, Pages 537-547, ISSN 8368-1395, 2013.
- [5] Jiancheng, H. and Xinwei, W., "Numerical and Experimental Investigations on the Axial Crushing Response of Composite Tubes" Composite Structures, Vol. 91, Issue 2, Pages 222-228, ISSN 0263-8223, 2009.
- [6] Hull, D., "A Unified Approach to Progressive Crushing of Fiber-Reinforced Composite Tubes" Composites Science and

- [13] Sadeghi, Mohammad, and Mohammad Hossein Pol. "Experimental Studies on the Punch Shear Characterization of Glass/epoxy/CNTs Laminate Nanocomposites." Polymer Composites.
- [14] Yeganeh, E. M. Liaghat, G. H. and Pol, M. H., "Laminate Composites Behavior under Quasi-static and High Velocity Perforation" STEEL AND COMPOSITE STRUCTURES, 22(4), 777-796, 2016.
- [15] Han, Haipeng, Taheri, Farid, Pegg, Neil and Lu, You, "A Numerical Study on the Axial Crushing Response of Hybrid Pultruded and  $\pm 45^\circ$  Braided Tubes" Composite Structures, Volume 80, Issue 2, Pages 253-264, ISSN 0263-8223, 2017.
- [16] Huang, Jiancheng and Wang, Xinwei, "Numerical and Experimental Investigations on the Axial Crushing Response of Composite Tubes" Composite Structures, Volume 91, Issue2, Pages222-228, ISSN0263-8223, 2009.
- [17] Chiu, L. N. Falzon, B. G. Ruan, D. Xu, S. Thomson, R. S. Chen, B. and Yan, W., "Crush Responses of Composite Cylinder under Quasi-static and Dynamic Loading" Composite Structures, 131, 90-98, 2016.
- [18] Deniz, M. E. Ozen, M. Ozdemir, O. Karakuzu, R. and Icten, B. M., "Environmental Effect on Fatigue Life of Glass–epoxy Composite Pipes Subjected to Impact Loading" Composites Part B: Engineering, 44(1), 304-312, 2013.
- [19] Kim, J. S. Yoon, H. J. and Shin, K. B., "A Study on Crushing Behaviors of Composite Circular Tubes with Different Reinforcing Fibers" International Journal of Impact Engineering, 38(4), 198-207, 2011.
- [20] Abdewi, E. F. Sulaiman, S. Hamouda, A. M. S. and Mahdi, E., "Effect of Geometry on the Crushing Behaviour of Laminated Corrugated Composite Tubes" Journal of materials processing technology, 172(3), 394-399, 2006.